

惠州市 2023 届高三第一次模拟考试试题

地 理

本试卷 6 页，19 小题，满分 100 分。考试用时 75 分钟。

注意事项：1. 答卷前，考生务必将自己的姓名、考生号、考场号和座位号填写在答题卡上。将条形码横贴在答题卡右上角“条形码粘贴处”。

2. 作答选择题时，选出每小题答案后，用 2B 铅笔在答题卡上对应题目的答案信息点涂黑；如需要改动，用橡皮擦干净后，再选涂其它答案。答案不能答在试卷上。

3. 非选择题必须用黑色字迹的钢笔或签字笔作答，答案必须写在答题卡各题目指定区域内相应位置上；如需改动，先划掉原来的答案，然后再写上新答案；不准使用铅笔和涂改液。不按以上要求作答无效。

4. 考生必须保证答题卡的整洁。考试结束后，将答题卡交回。

一、选择题：本大题共 16 小题，每小题 3 分，共 48 分。在每小题列出的四个选项中，只有一项符合题目要求。

2022 年末我国人口比上年末减少 85 万人，是近 61 年来首次人口负增长。图 1 示意我国 1990 年后 0-14 岁、15-59 岁、60 岁以上及总人口的数量变动情况（含预测）。据此完成 1~2 题。

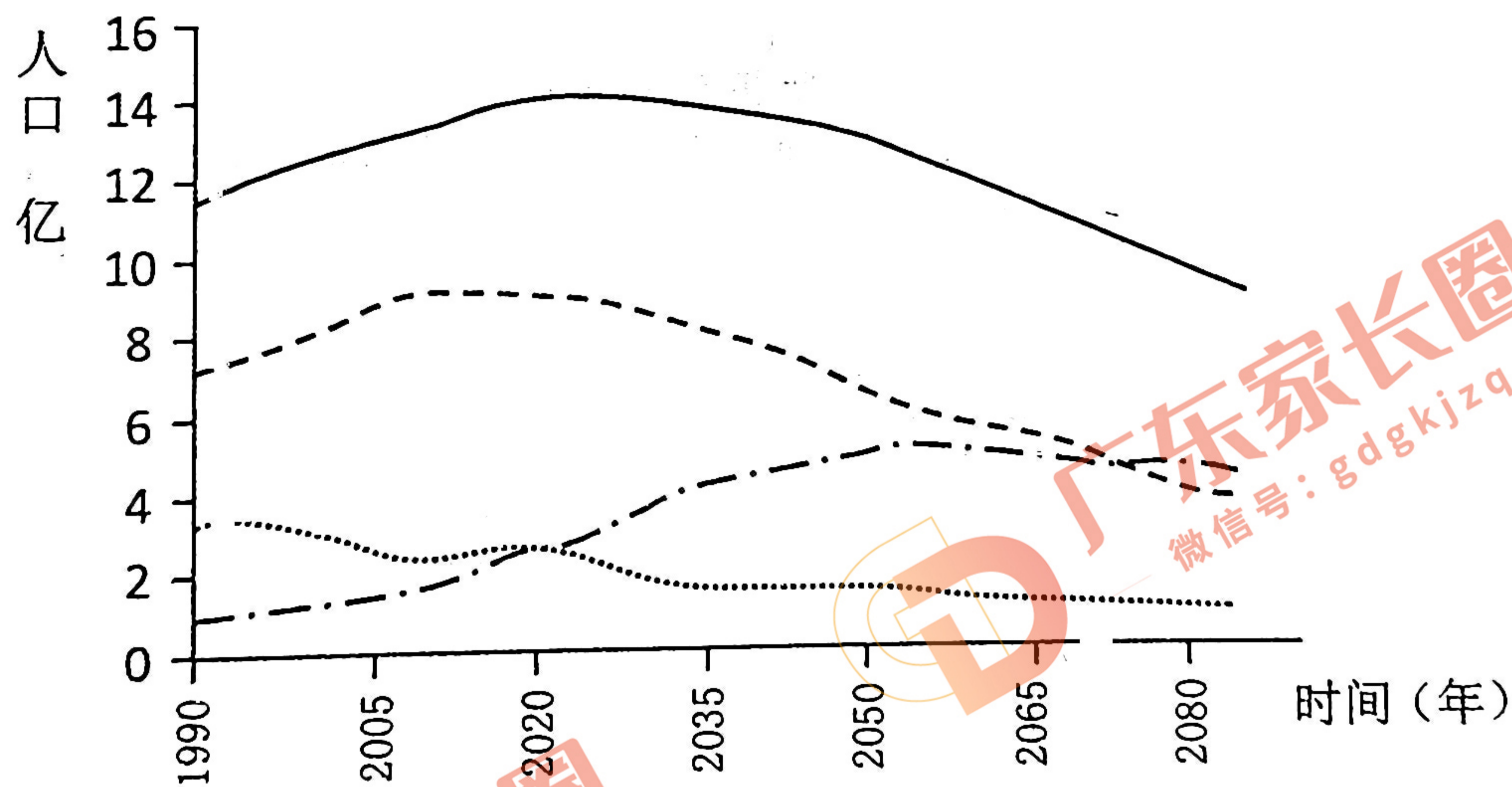


图 1

1. 我国各年龄段人口首次出现负增长的次序为

- A. 少儿人口、劳动年龄人口、老年人口
- B. 老年人口、劳动年龄人口、少儿人口
- C. 劳动年龄人口、少儿人口、老年人口
- D. 少儿人口、老年人口、劳动年龄人口

2. 与目前我国人口负增长原因关联紧密的是

- A. 人均寿命延长
- B. 平均婚育年龄上升
- C. 人口迁出率上升
- D. 近年生育政策调整

伊势湾北部的日本名古屋港区按致灾危险性由高到低，共分一至四级防灾分区。区内难场所，竖向避难所一般为多层、大体量的钢筋混凝土建筑。该地一级防灾分区避难场所数量少，仅在必要地区配置少量竖向避难所。图2为名古屋港区四级防灾分区分布示意图。据此完成3~5题。

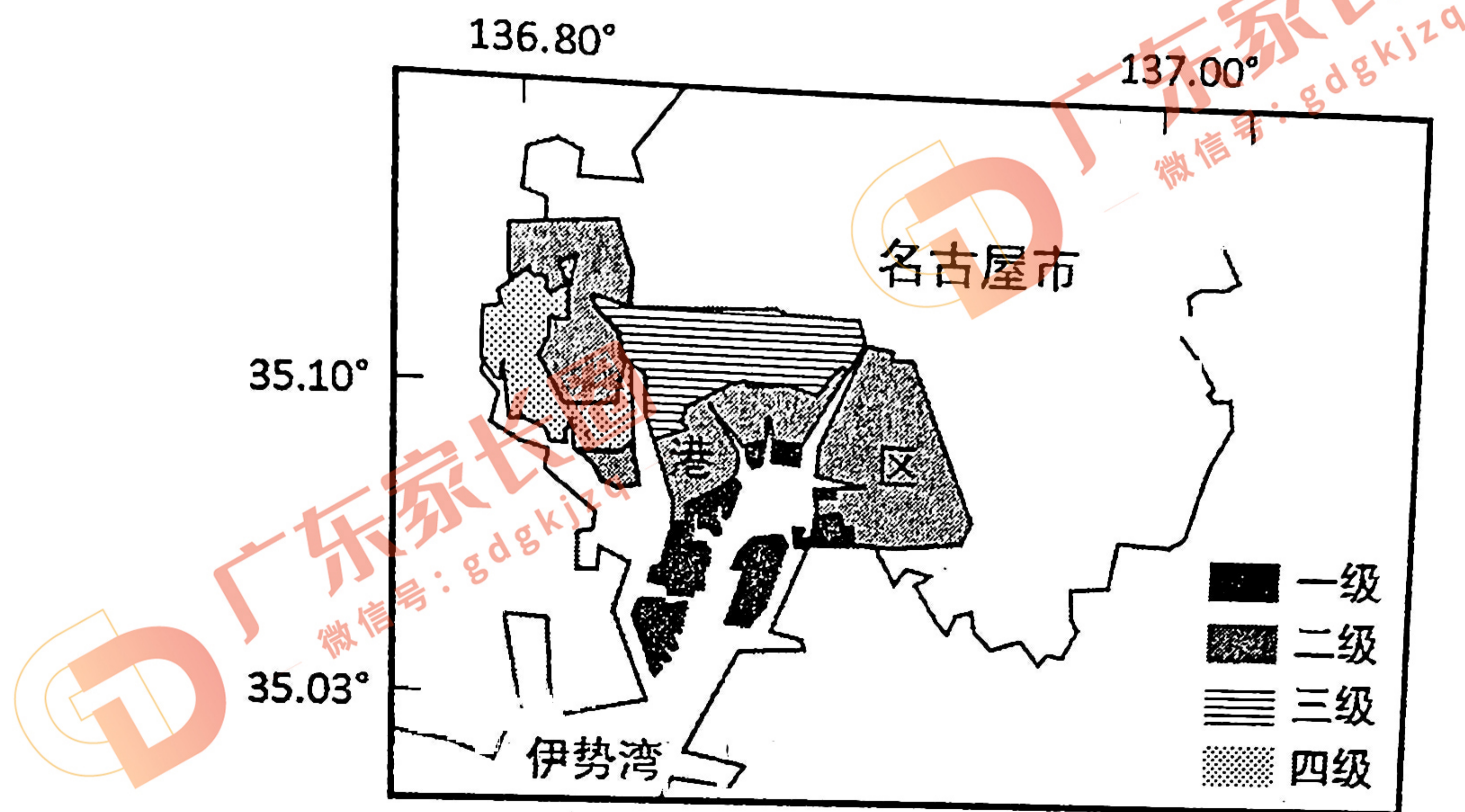
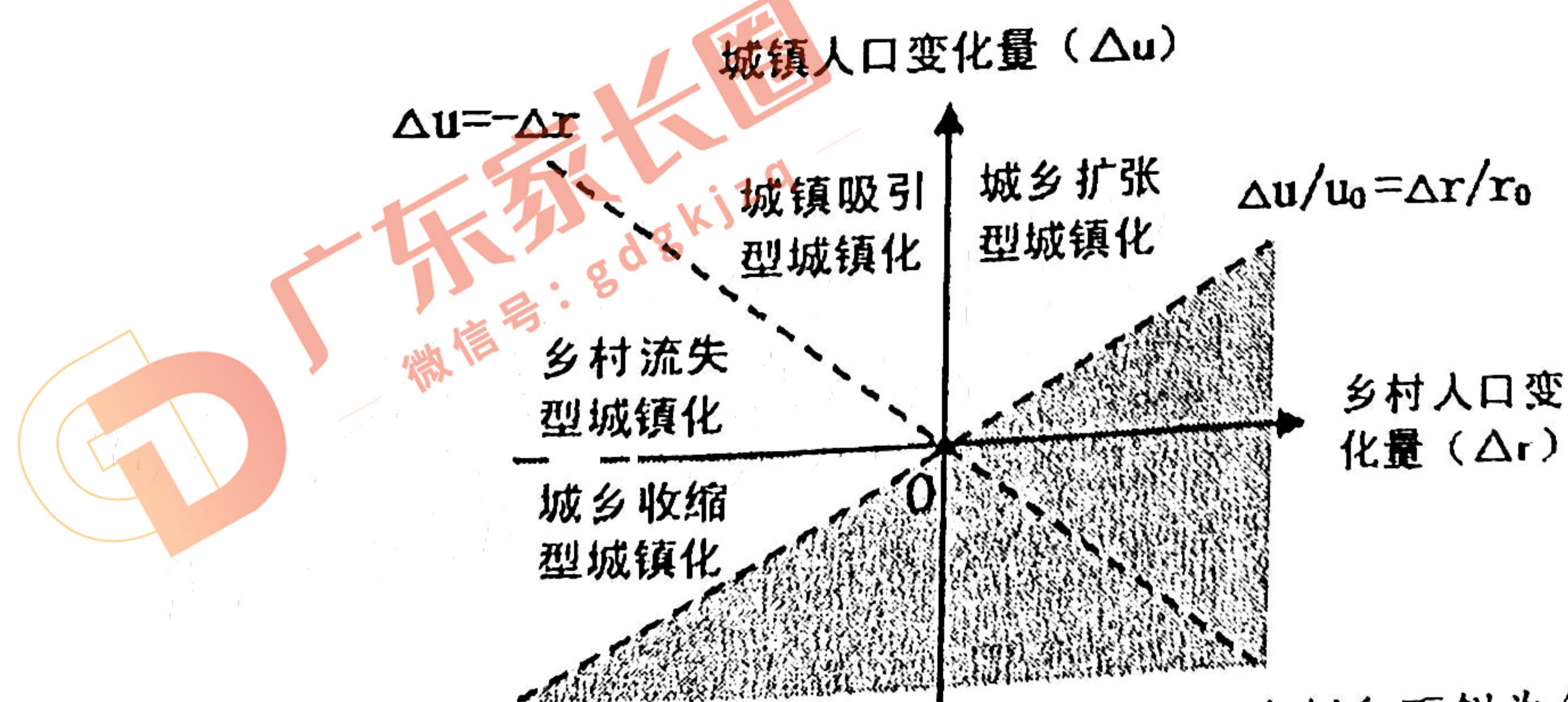


图2

3. 避难场所的选址应临近
 - A. 交通线
 - B. 海岸
 - C. 市中心
 - D. 郊区
4. 该地一级防灾分区中的竖向避难所主要用于紧急躲避
 - A. 地震
 - B. 滑坡
 - C. 暴雨
 - D. 潮灾
5. 一级防灾分区设置的避难场所数量少，原因可能是
 - A. 高危险区人口稀少
 - B. 限制高危险区开发建设
 - C. 高危险区土地稀少
 - D. 减少高危险区人员滞留

城镇化是区域城镇和乡村人口变动共同作用的结果。有研究从城乡人口变动的视角划分城镇化地域类型（划分方法如图3所示），并发现中国的城镇化实现路径存在较强的时空动态性。据此完成6~8题。



注：轴线上0点的右侧和上侧为正值，左侧和下侧为负值； u_0 和 r_0 分别为一地区城镇和乡村的初始常住人口。

图3

6. 若处于图中阴影区间，反映区域
- A. 城镇化速度提升
B. 城镇化速度降低
C. 城镇化水平提升
D. 城镇化水平降低
7. 我国各地最主要的城镇化地域类型为
- A. 城乡扩张型城镇化
B. 城镇吸引型城镇化
C. 乡村流失型城镇化
D. 城乡收缩型城镇化
8. 精准扶贫、乡村振兴等政策可能使西南地区城镇化
- A. 从乡村流失型转为城镇吸引型
B. 从乡村流失型转为城乡扩张型
C. 从城镇吸引型转为乡村流失型
D. 从城镇吸引型转为城乡收缩型

受自然因素与人类活动共同驱动，中国近 20 年来地表温度总体上升。升温区占国土面积的 78%，而降温区较为集中于 3 条轴线，整体呈“Y”型交汇于汉中盆地西部（图 4 所示）。据此完成 9~10 题。

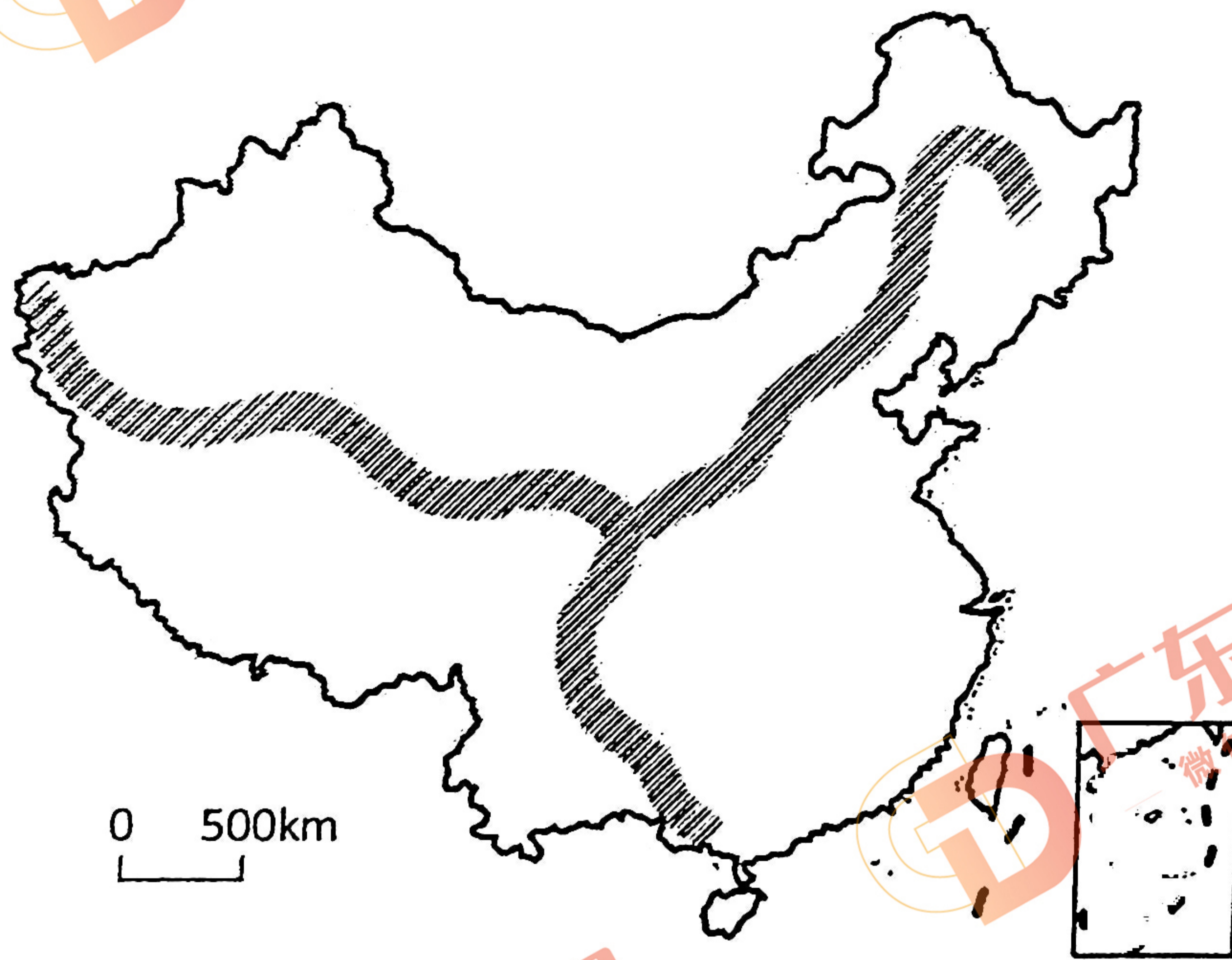


图 4

9. “Y”型降温区多为
- A. 平原
B. 盆地
C. 山区
D. 河谷
10. 我国各地地温变化按成因可分为“自然主导区”和“人为主导区”，其界线最可能接近
- A. 一、二级阶梯分界线
B. “胡焕庸线”
C. 二、三级阶梯分界线
D. 南北方分界线

北京时间 2017 年 9 月 6 日，中国第八次北极科考队搭乘“雪龙”号科考船，历时 8 天，成功穿越北极西北航道。该试航的成功为未来中国船只穿行西北航道积累了重要的航行经验。图 5 示意北极西北及东北航道分布。据此完成 11~13 题。

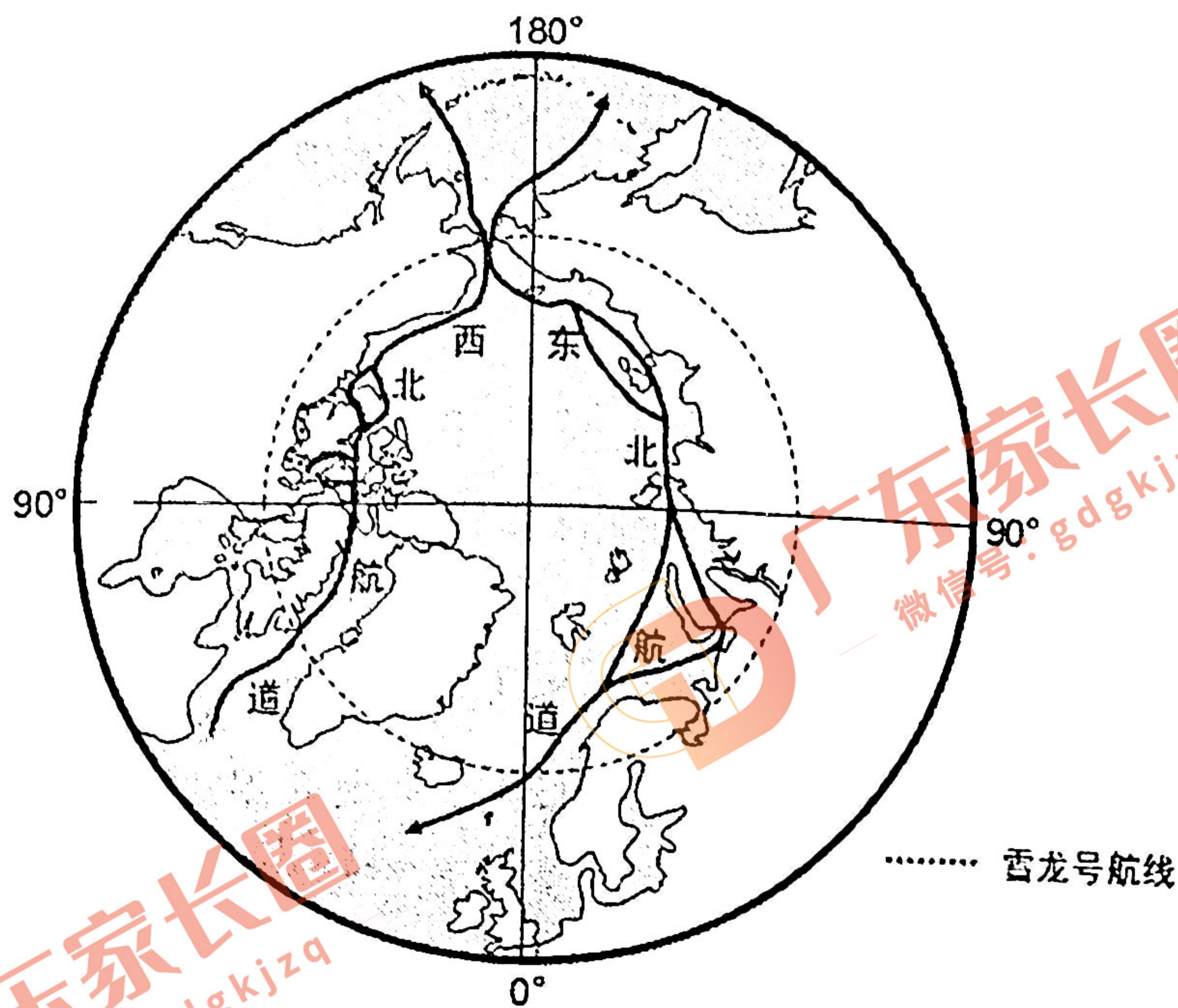


图 5

11. “西北航道”和“东北航道”的命名是视
- A. 欧洲为航道起点
B. 北极中心为航道起点
C. 亚洲为航道起点
D. 白令海峡为航道起点
12. 西北航道的最佳通航窗口期为 8 月下旬至 9 月上旬，主要因为此期间
- A. 风浪较小
B. 海冰较少
C. 白昼较长
D. 晴天较多
13. 在西北航道各线路中，“雪龙”号试航路线的优势在于
- A. 航道宽阔
B. 航线顺直
C. 通航期长
D. 航程较短

向外长波辐射是指大气层向外的长波辐射，该辐射量一般与云顶高度成负相关。卷云属于高云族，薄而透光，一般位于对流层顶下部。图 6 示意某高原 82°E-92°E 范围内水汽含量、垂直风速大小及 2007-2010 年夏季卷云发生总次数的纬向分布。据此完成 14~16 题。

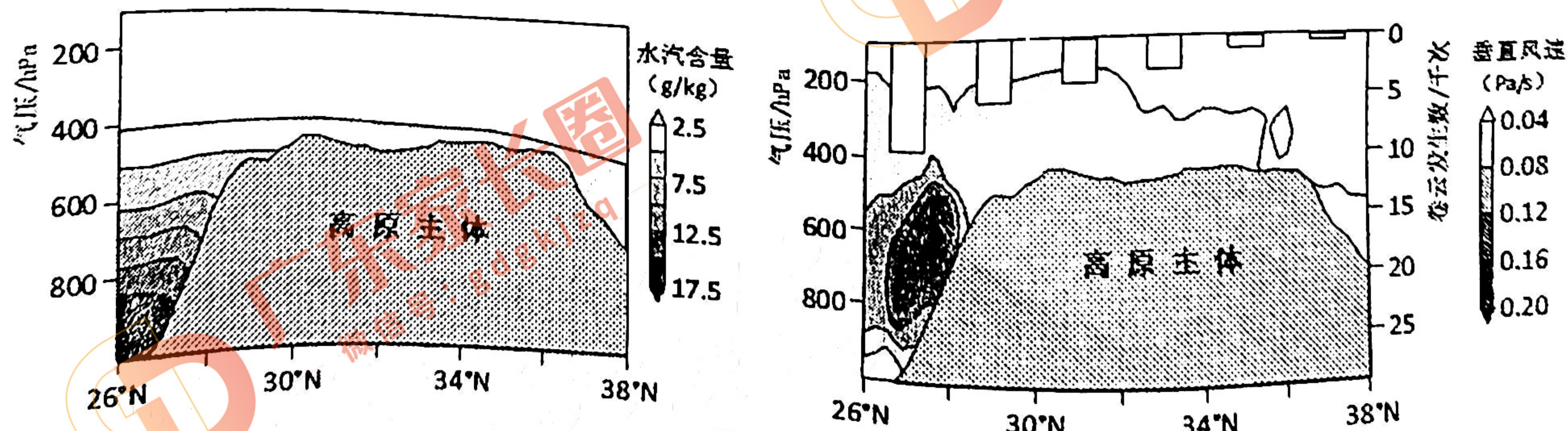


图 6

14. 卷云一般由
- A. 稀疏的小水滴组成
B. 密集的小水滴组成
C. 稀疏的小冰晶组成
D. 密集的小冰晶组成

15. 通常区域对流作用强

A. 利于卷云产生, 向外长波辐射强

B. 利于卷云产生, 向外长波辐射弱

C. 抑制卷云产生, 向外长波辐射强

D. 抑制卷云产生, 向外长波辐射弱

16. 图示高原南部水汽及垂直风速的变化源于该地

A. 信风下沉

B. 东北季风下沉

C. 西风抬升

D. 西南季风抬升

二、非选择题: 共三小题, 52 分。每个试题考生都必须作答。

17. 阅读图文材料, 完成下列要求。(18 分)

武昌自古为军事重镇, 先人择址蛇山等高地筑城。明代以前, 汉水下游为网状水系, 并以汉水南支为入江主水道。鹦鹉洲曾是长江武汉段的沙洲, 其在干支流汇合处形成, 历经数次变迁, 对古商业中心——武昌南市的兴衰有重要影响。南宋诗人范成大对此地曾描述“泊鹦鹉洲前南市堤下, 廛闹(市肆商店)其盛, 列肆如栉…盖川广荆襄淮浙贸迁之会, 货物之至者无不售…”。图 7 示意 198 年—1732 年长江武汉段水系及沙洲状况。

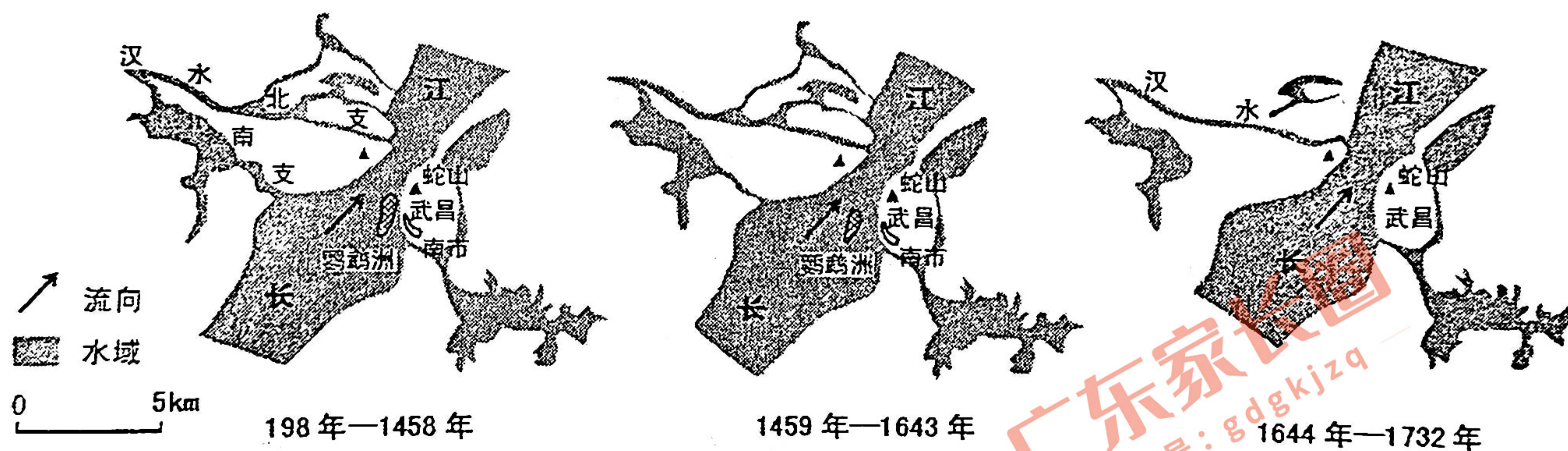


图 7

(1) 推测武昌古城选址高地修筑的原因。(4 分)

(2) 分析武昌南市商业一度兴盛的原因。(6 分)

(3) 描述图示阶段汉水入江河道及鹦鹉洲的变化, 并说明两者的关联性。(8 分)

18. 阅读图文材料, 完成下列要求。(16 分)

波浪能指海洋表面波浪所具有的动能和势能, 可应用于发电、海水淡化、供热等。通常认为波浪能流密度大于 2 kW/m 时为可用, 但波高大于 4m 、风力大于 7 级时对波浪能装置的安全性易造成影响。目前, 小型波浪发电技术日趋成熟, 但资源转换效率仍较低。我国海域广阔, 波浪能资源的应用利于开发走向深远海。图 8 为我国周边海域波浪能流密度 (kW/m) 分布图。

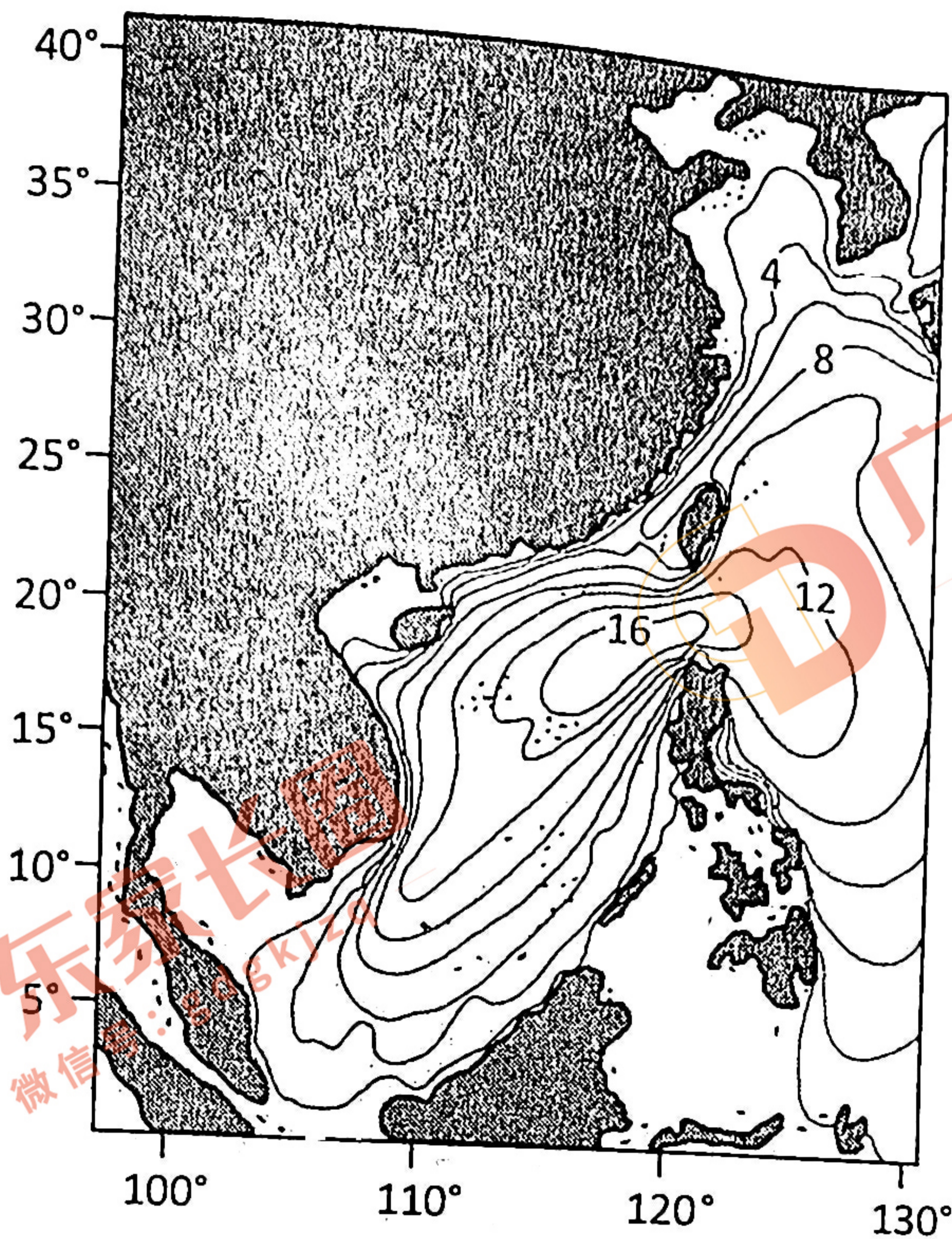


图 8

- (1) 说出我国海域波浪能总体分布特点。(4分)
- (2) 波浪能的开发利用有利于维护我国海洋权益, 请说明理由。(6分)
- (3) 你认为目前我国波浪能是否具备商业性开发条件, 请表明观点并说明理由。(6分)

19. 阅读图文材料, 完成下列要求。(18分)

崇明东滩南部(图9所示)是径流中所携带泥沙在岛堤之外沉积形成的潮滩, 受径流量影响, 滩地土壤盐度东北高、西南低。潮滩高程和盐度的梯度变化, 共同限制着盐沼植物在空间上的分布。该地有莎草科及禾本科两类植被分布, 植被分布区潮滩高程与群落演替发育的时间存在密切联系。

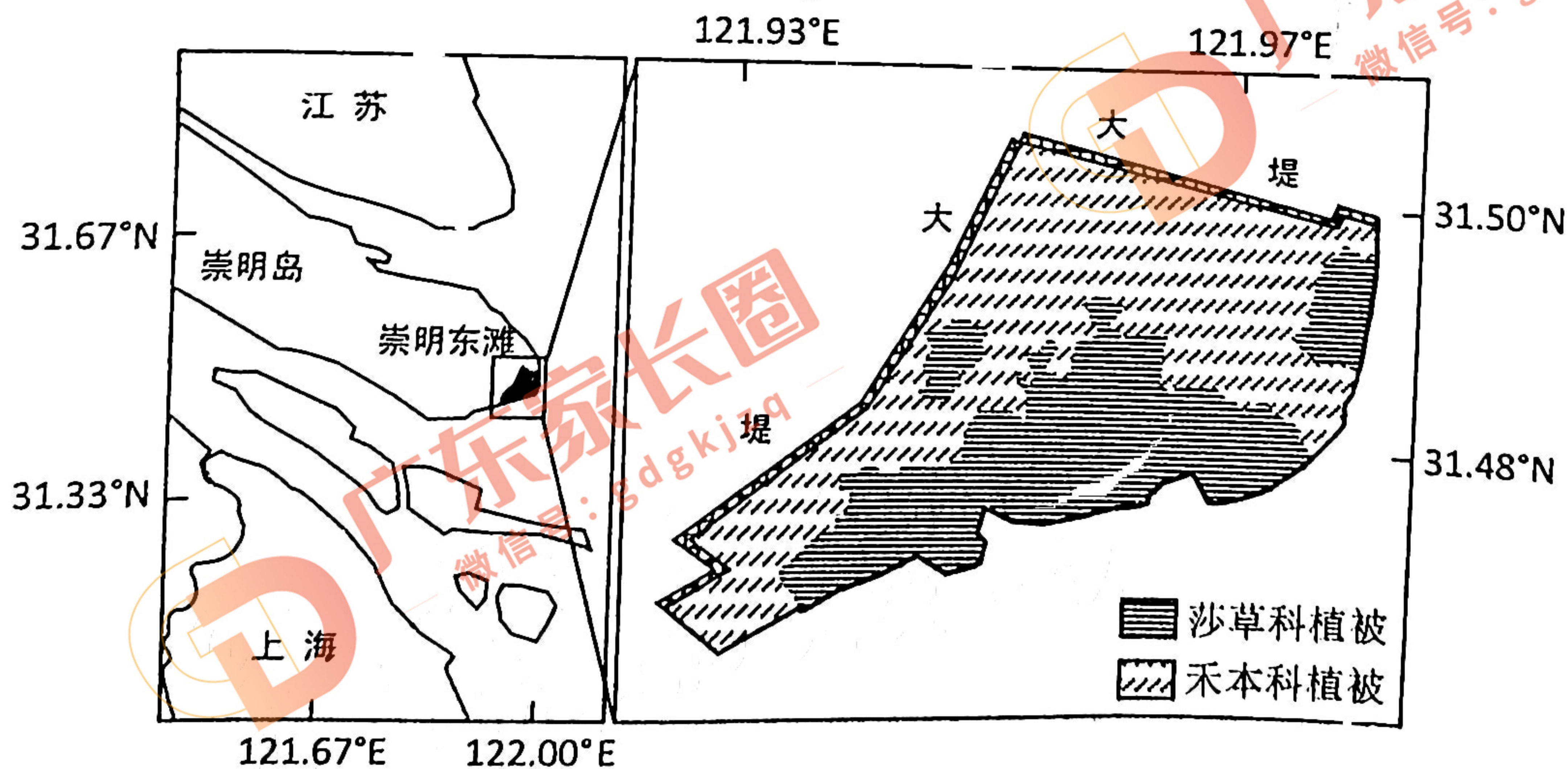


图 9

- (1) 分析该滩地土壤盐度东北高、西南低的原因。(6分)
- (2) 说出潮滩植被对潮滩环境的改造作用。(4分)
- (3) 推断该地莎草科和禾本科两类植被的演替顺序, 并说明理由。(8分)